

Gráfico de l_poplit_angle según gmfcfs donde p-valor = 0.0114689

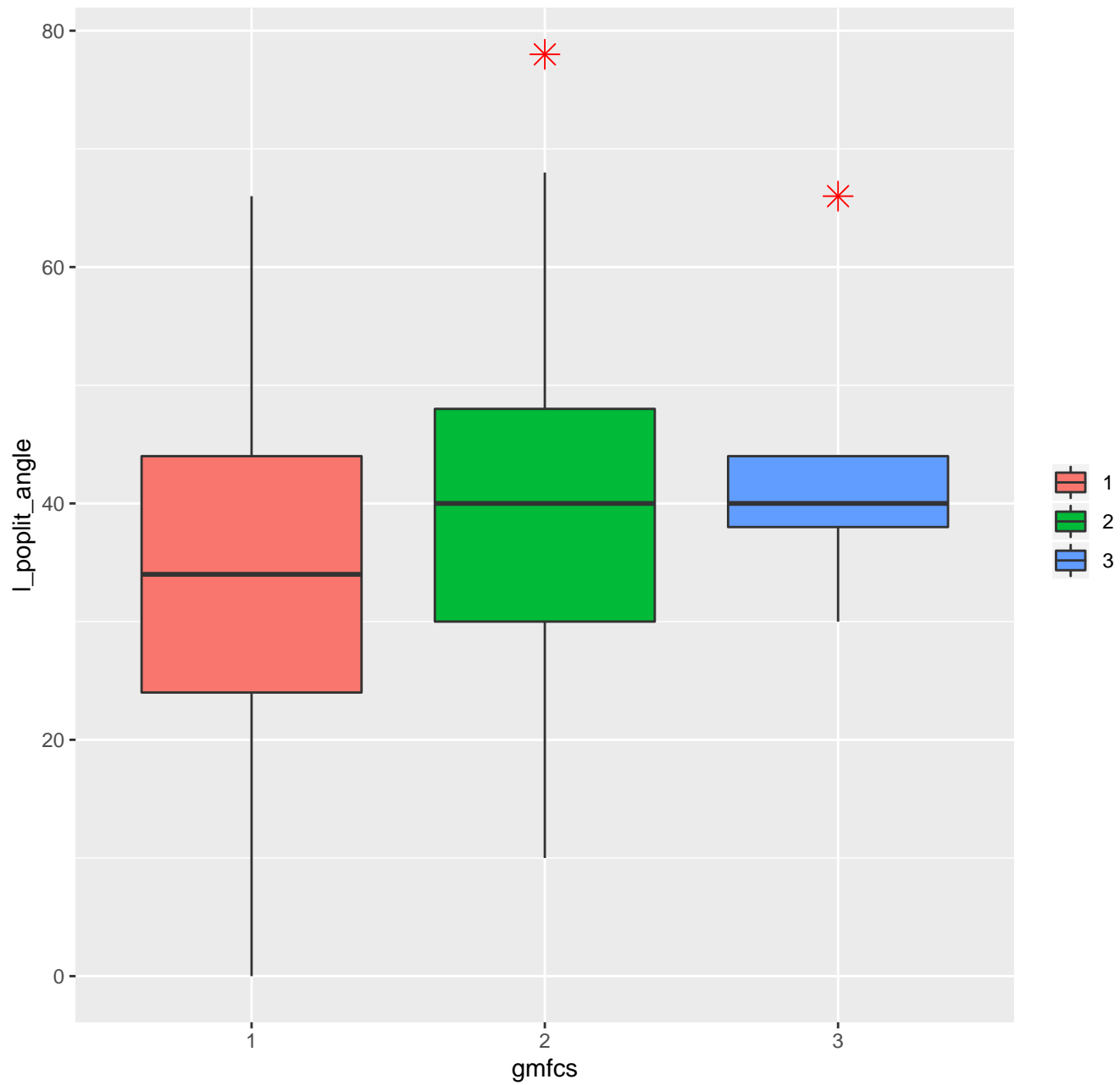


Gráfico de I_poplit_angle según distrib donde p-valor = 0.0016214

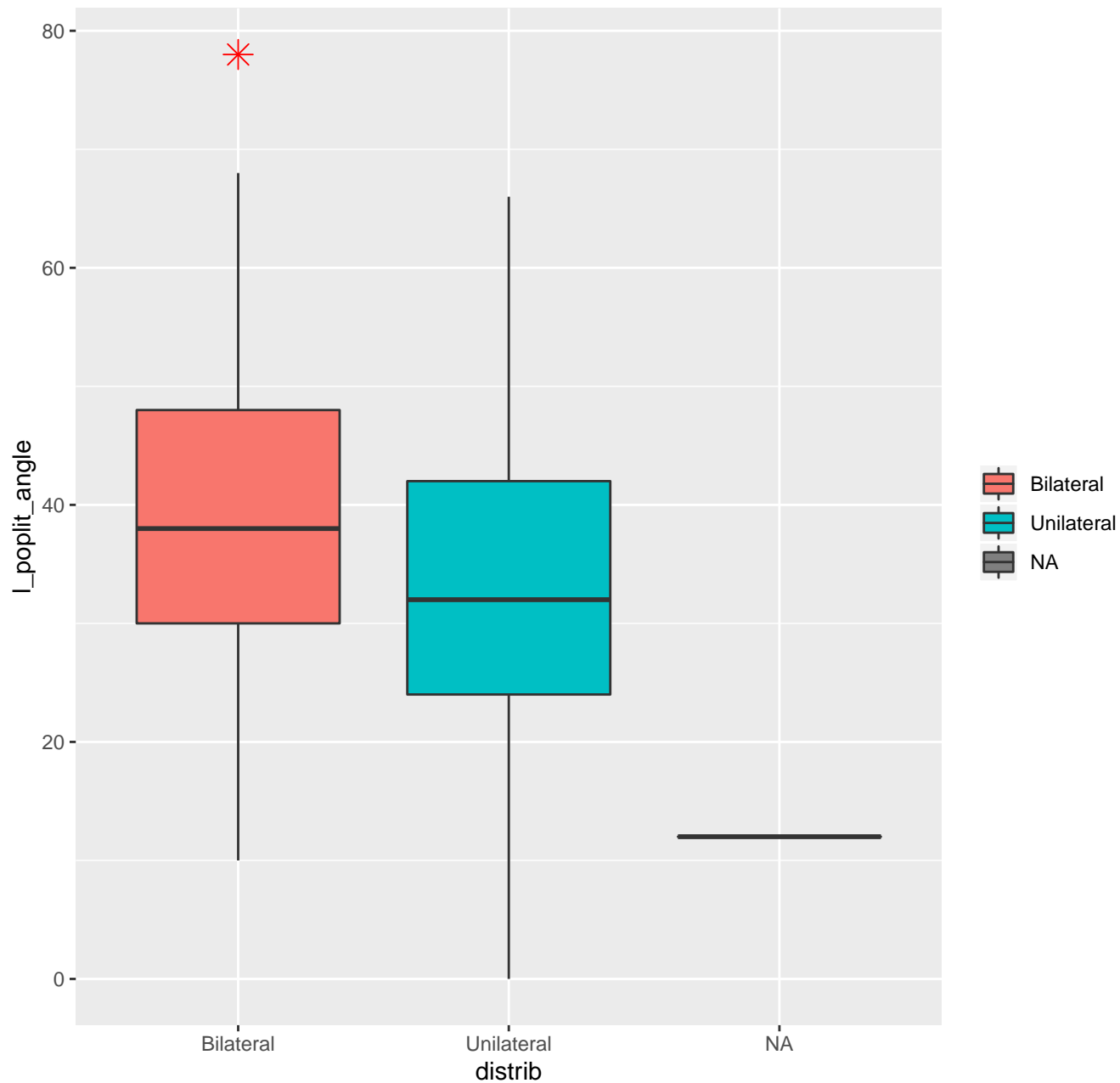


Gráfico de l_poplit_angle según quad_r_tone donde p-valor = 0.0115483

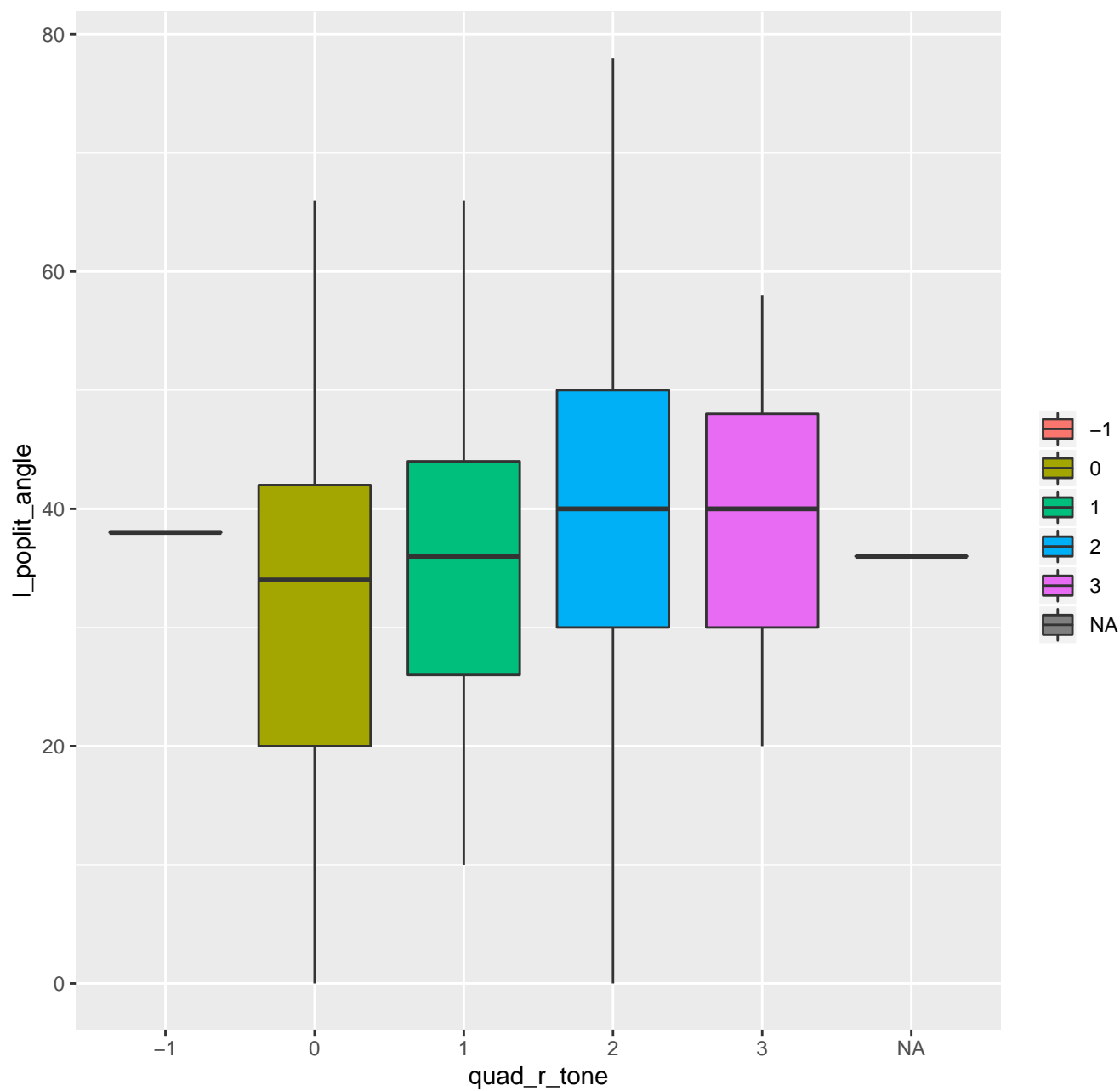


Gráfico de l_poplit_angle según quad_l_tone donde p-valor = 0

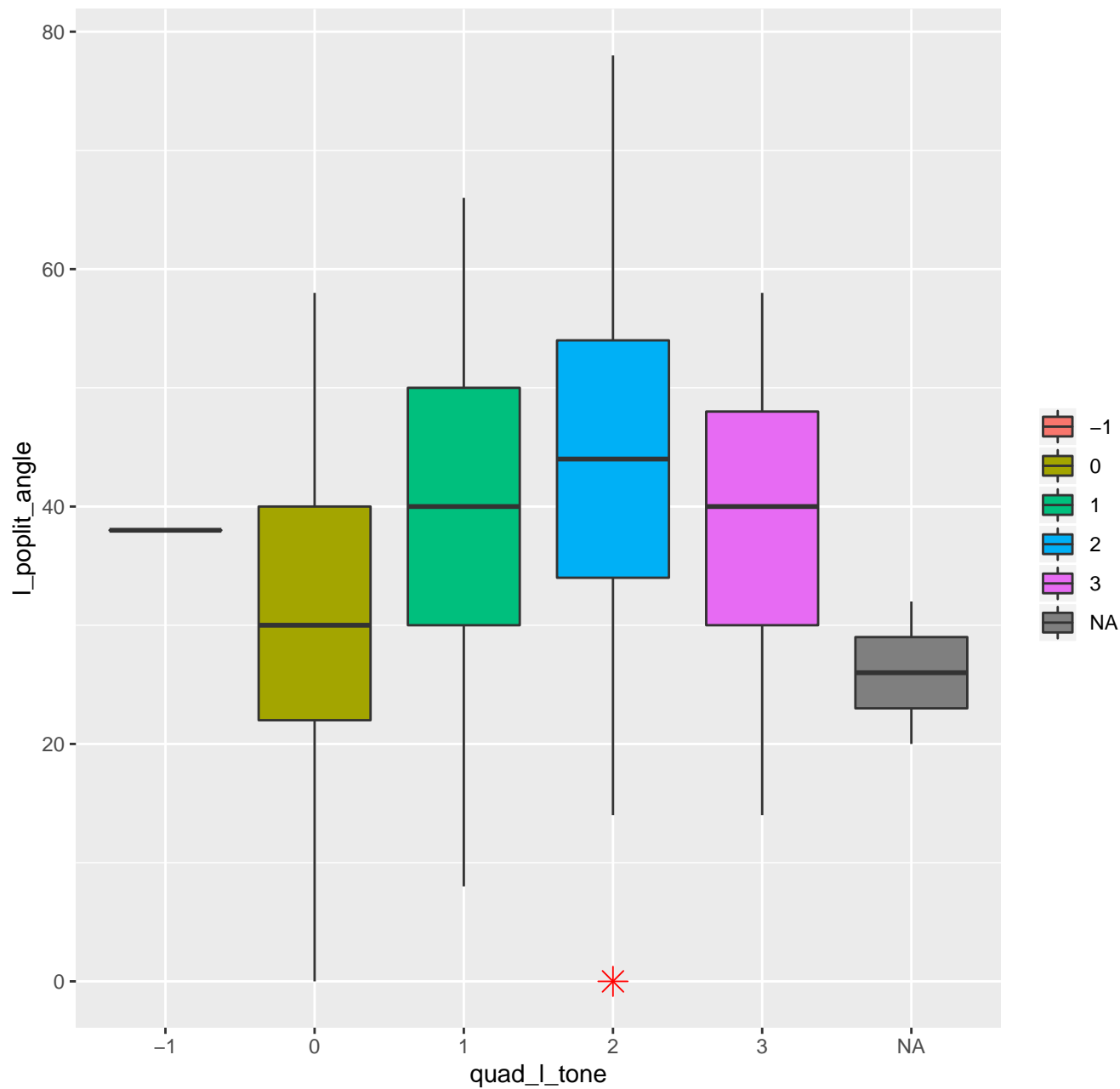


Gráfico de l_poplit_angle según hip_flex_l_tone donde p-valor = 0

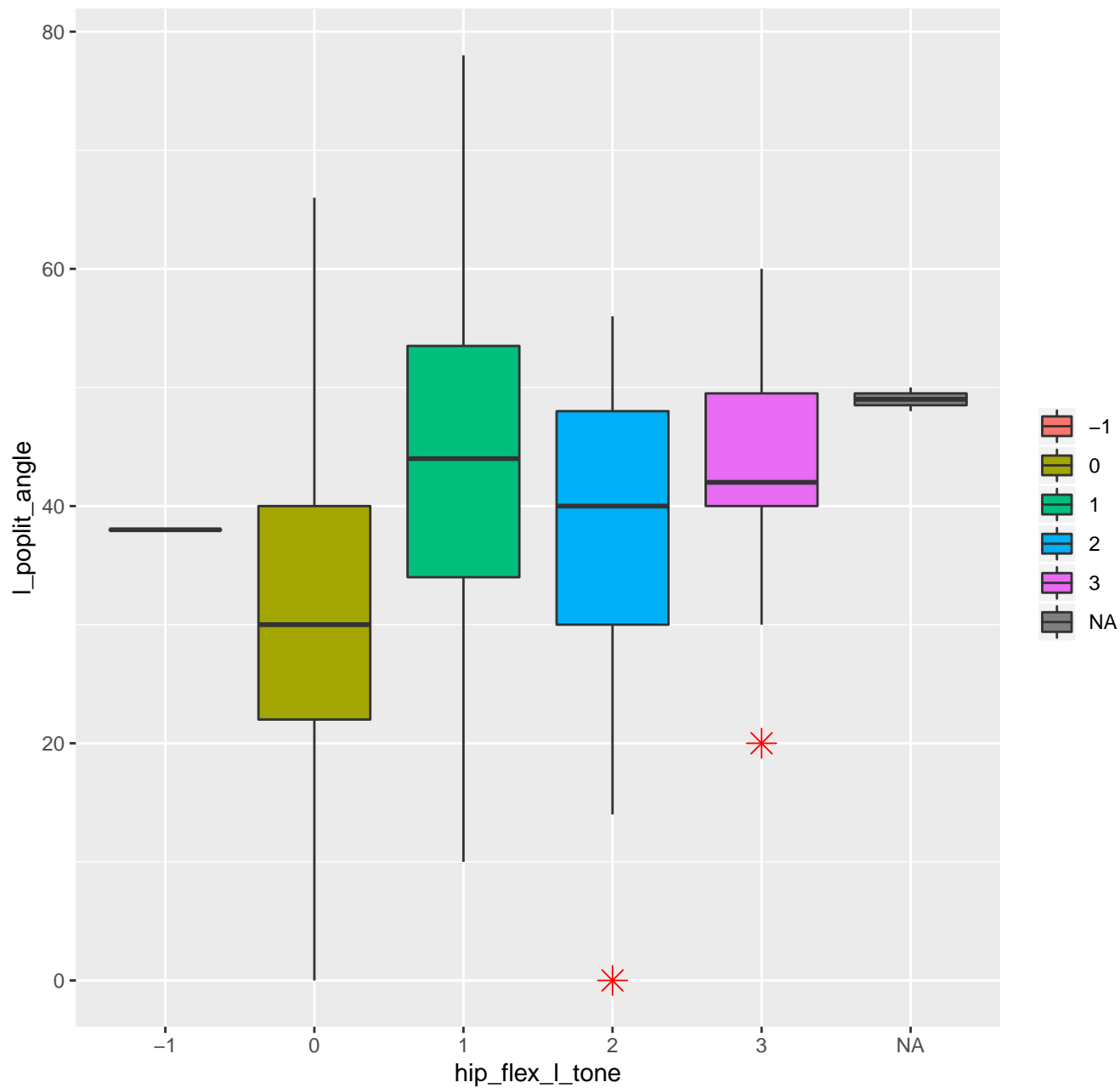


Gráfico de l_poplit_angle según gastrocn_r_tone donde p-valor = 0.0135102

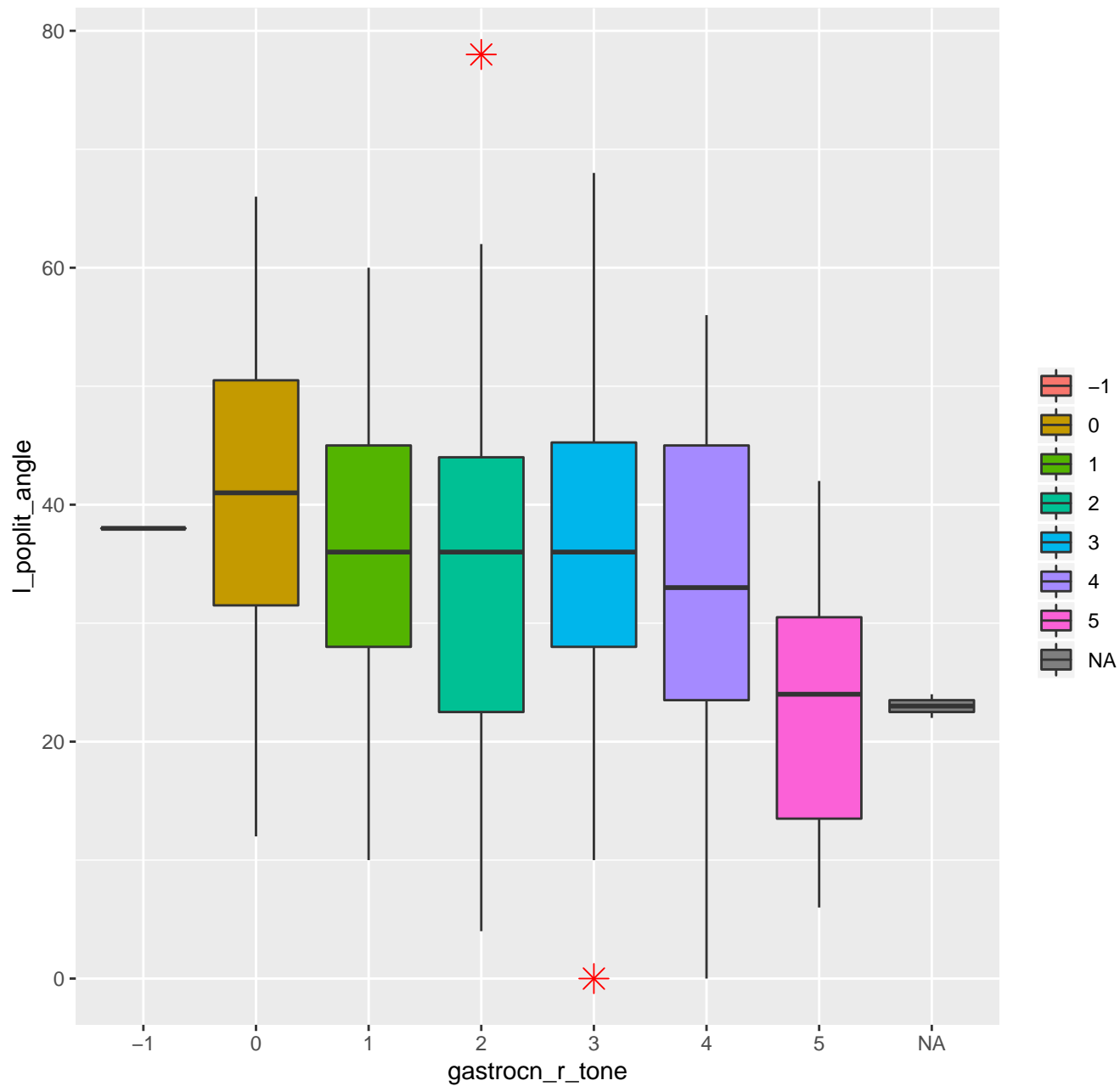


Gráfico de l_poplit_angle según gastrocn_l_tone donde p-valor = $8e-05$

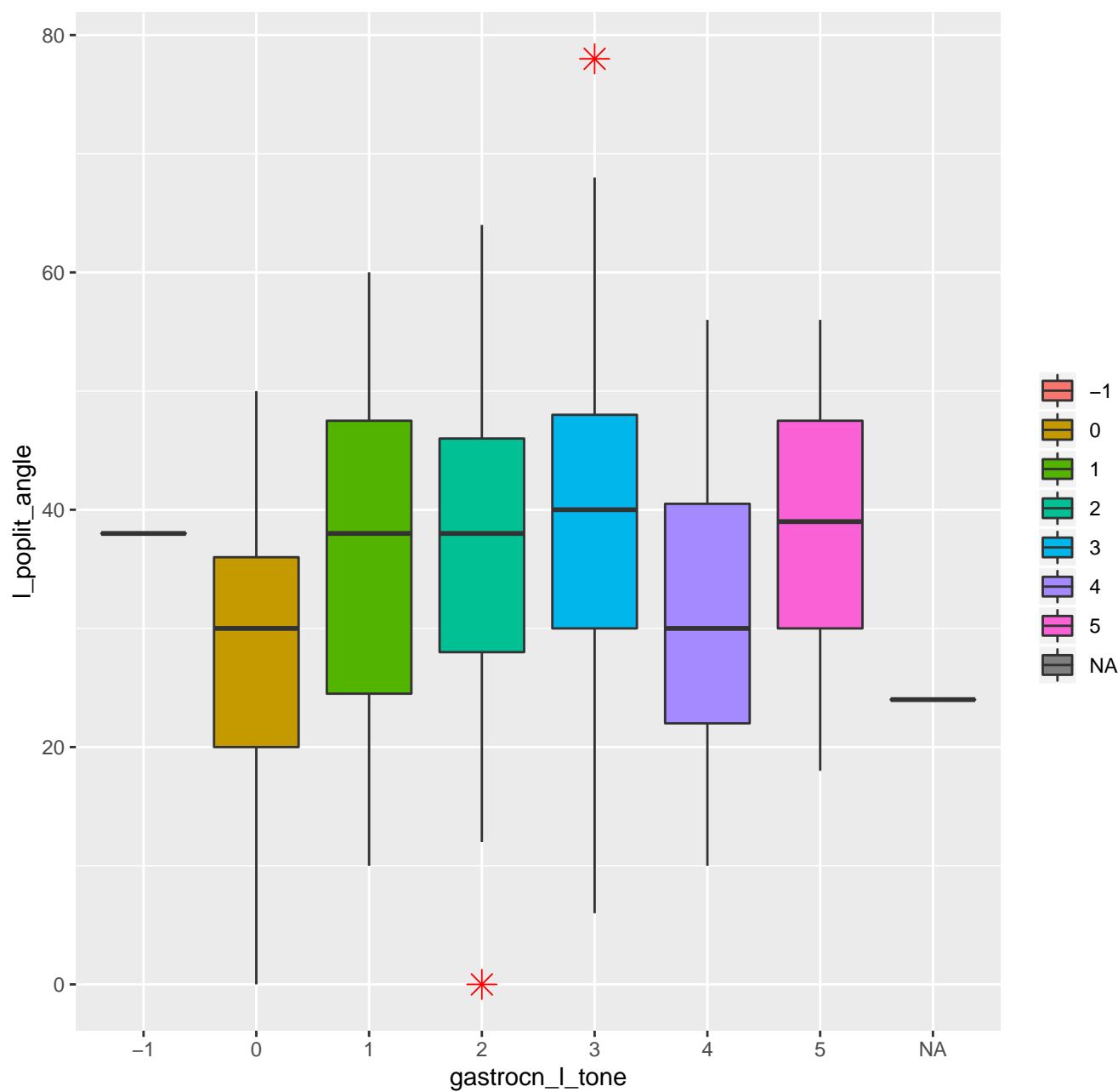


Gráfico de l_poplit_angle según hamstr_r_tone donde p-valor = 0.0147459

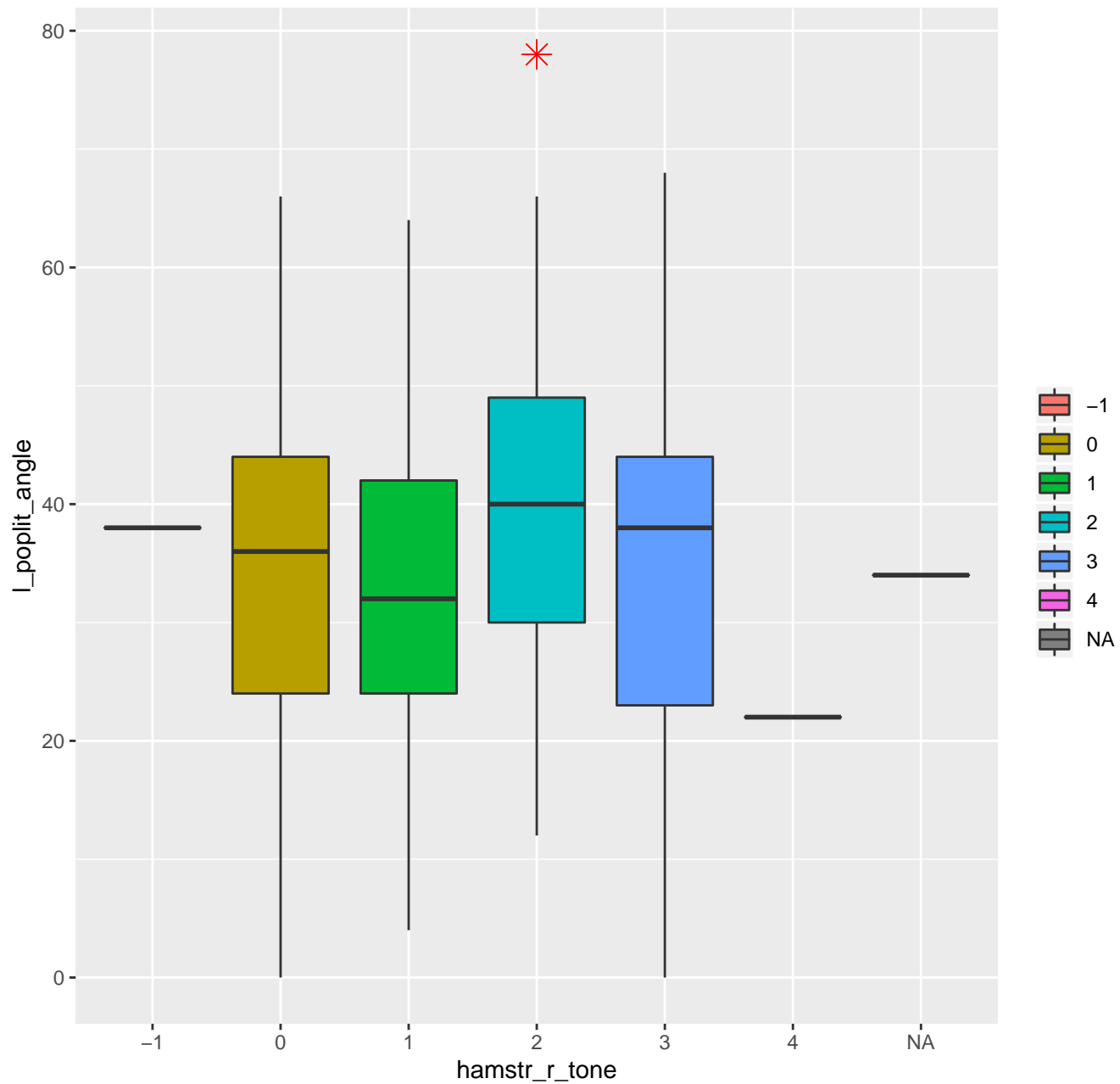


Gráfico de l_poplit_angle según hamstr_l_tone donde p-valor = $6e-07$

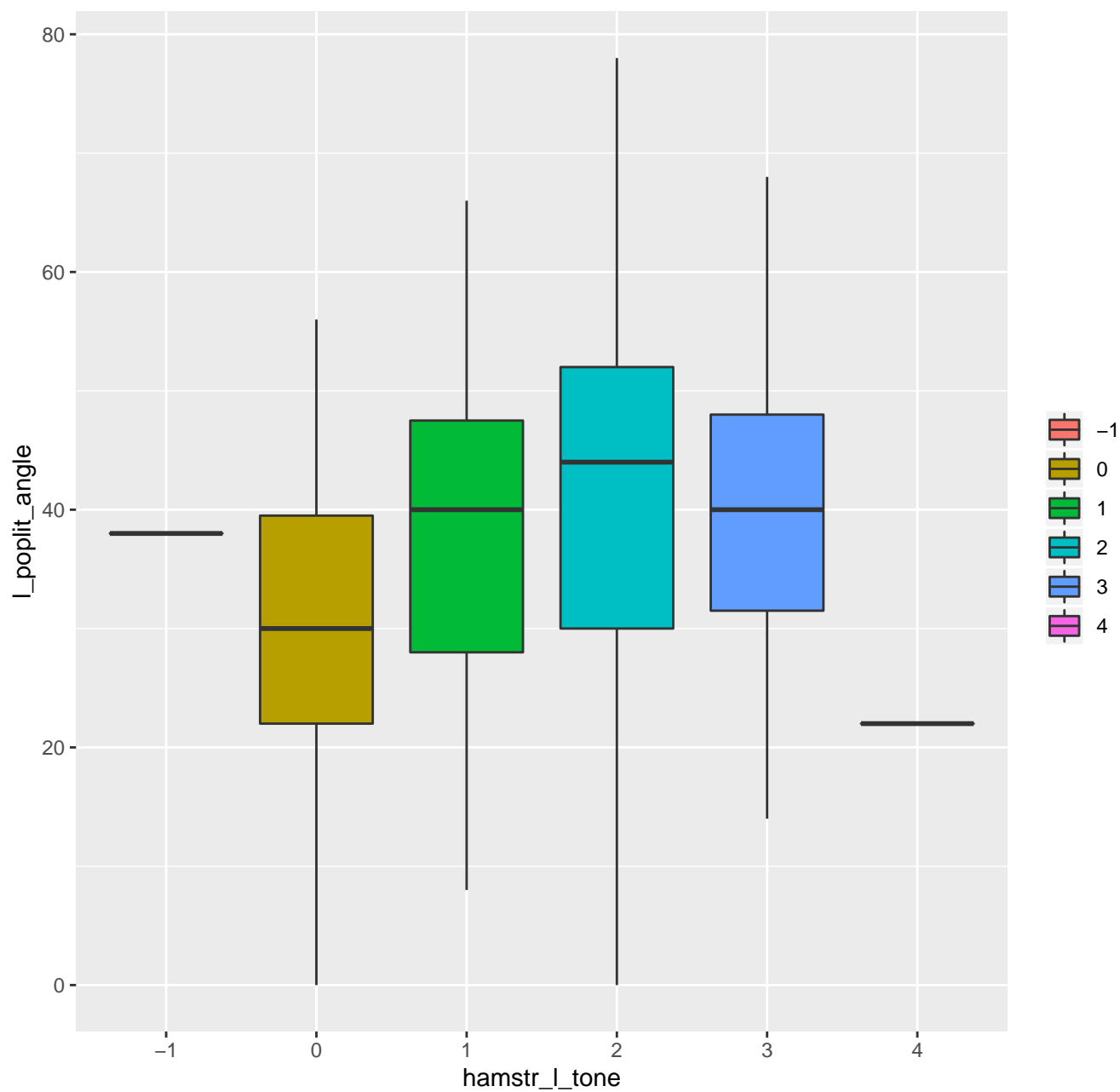


Gráfico de standar_value según gmfc's donde p-valor = 0

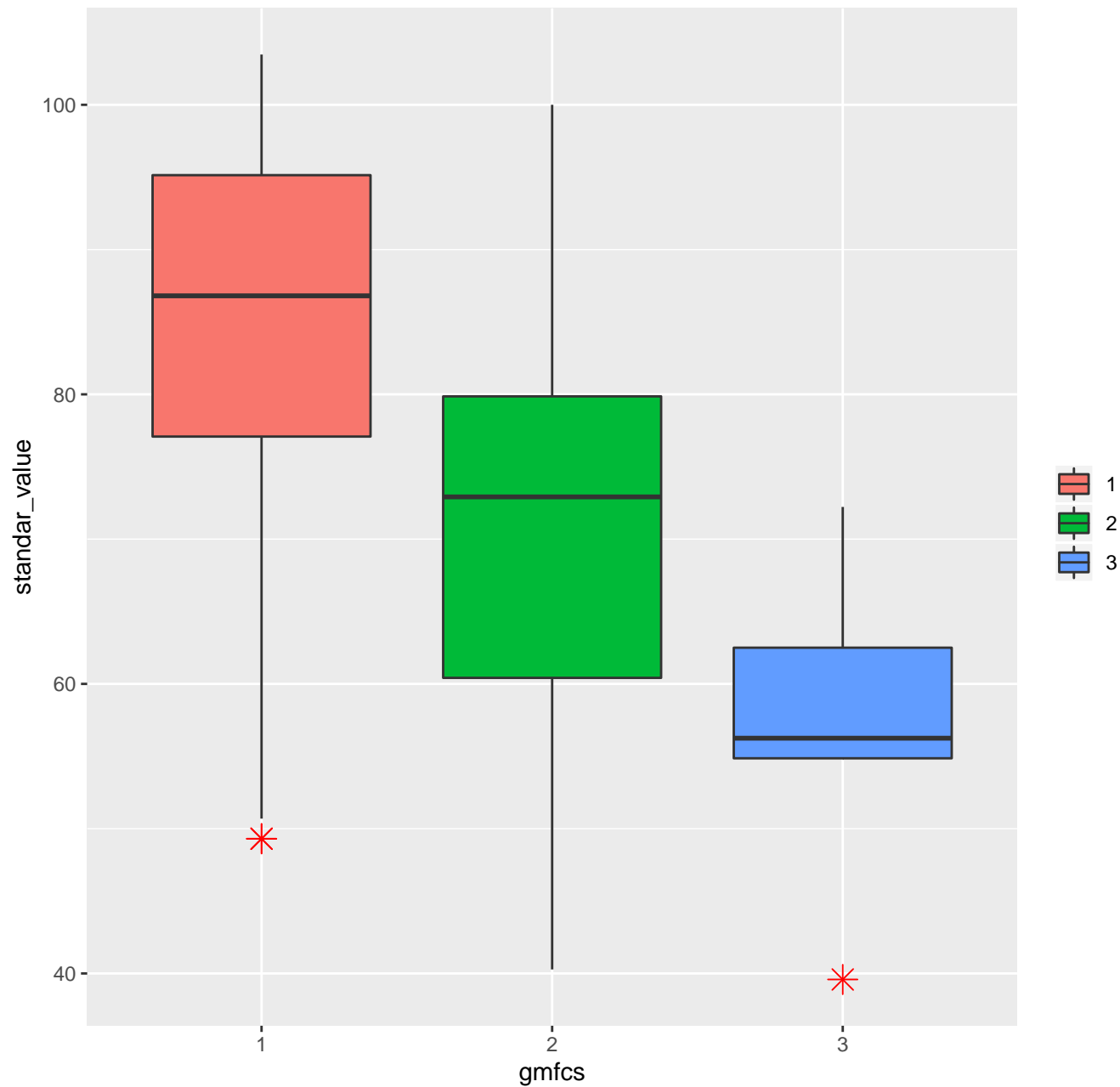


Gráfico de standar_value según dyst_sign donde p-valor = 0.0003326

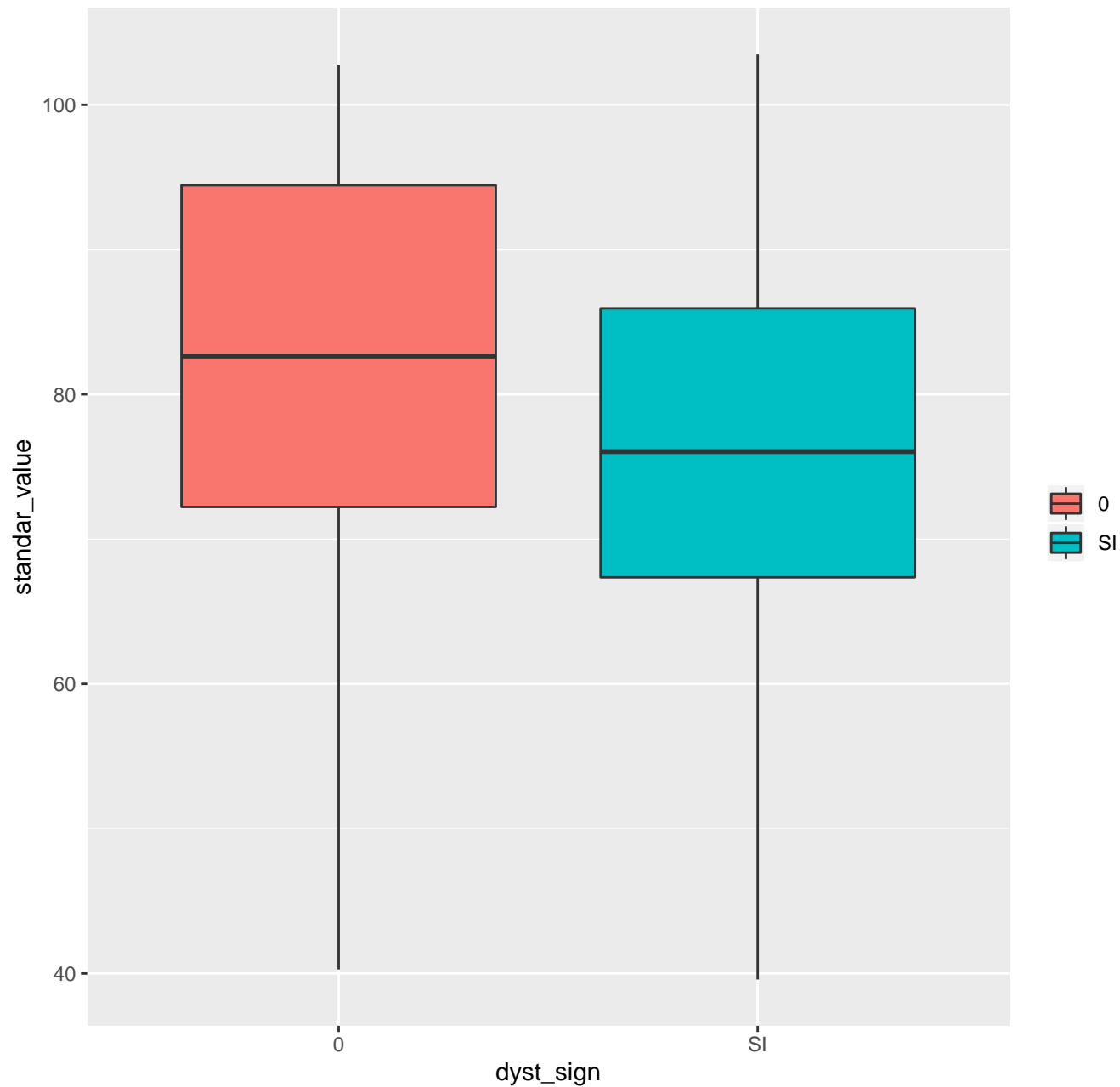


Gráfico de standar_value según espast_sign donde p-valor = 0.0010401

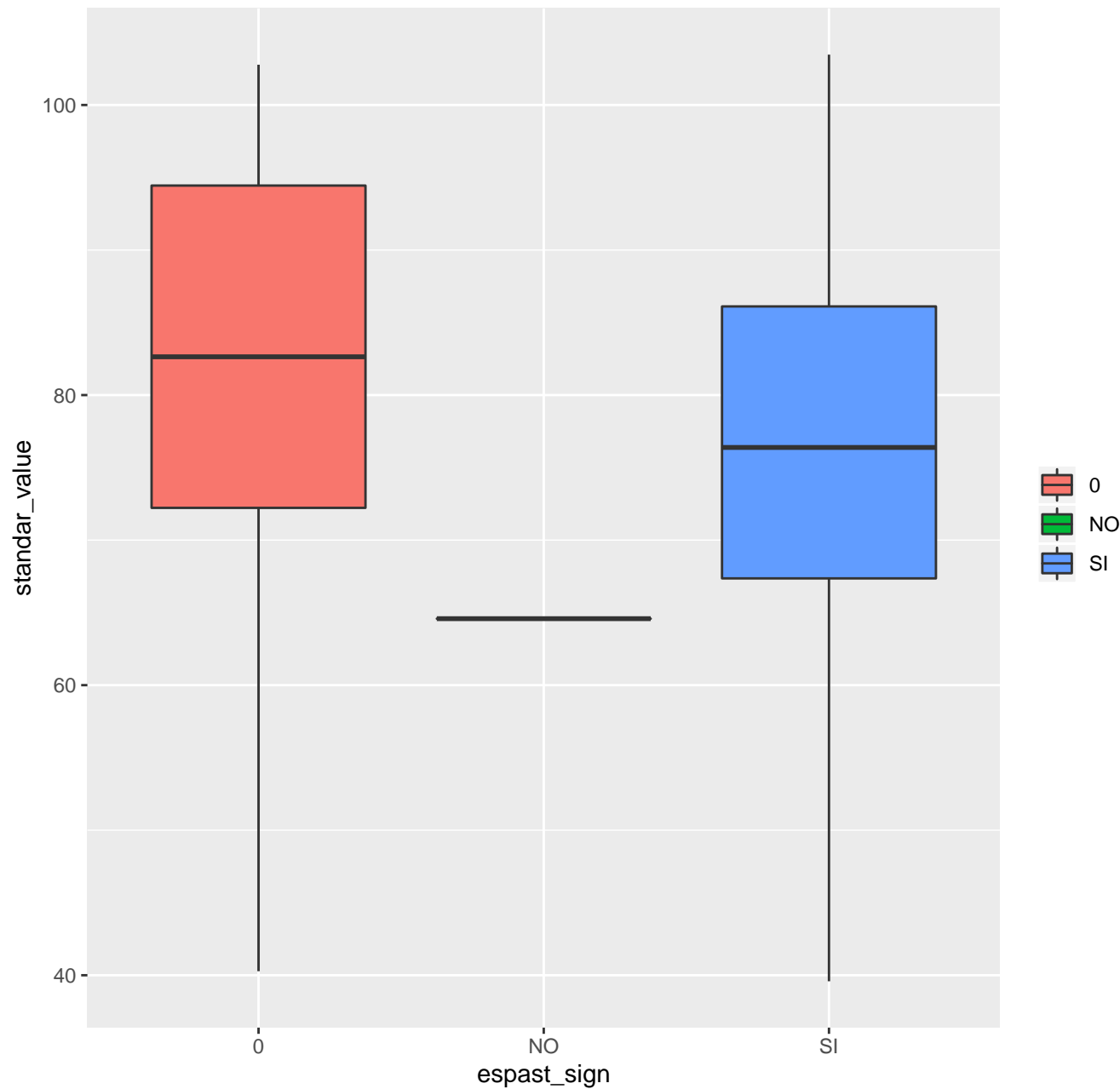


Gráfico de standar_value según type donde p-valor = 0.0017314

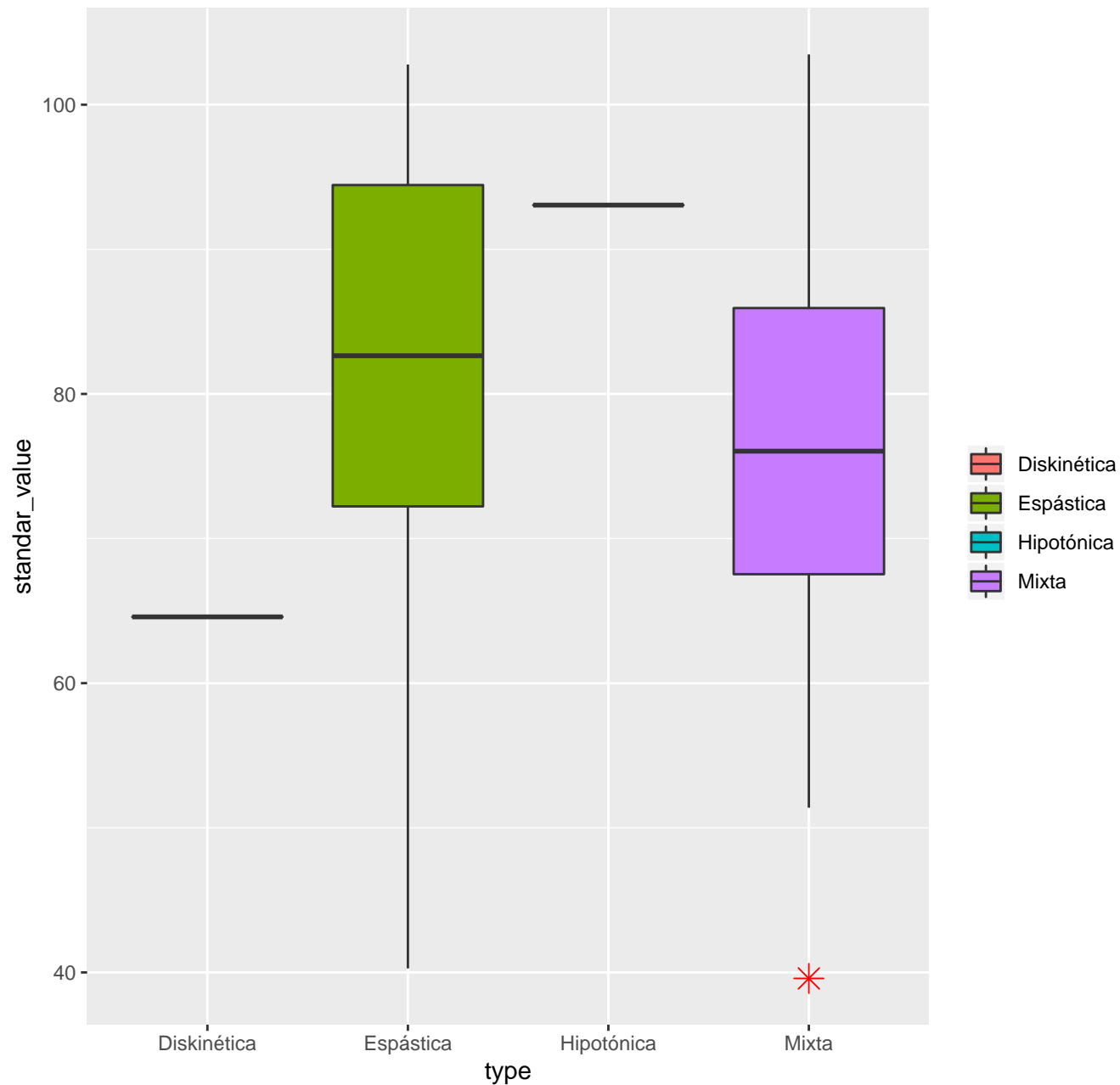


Gráfico de standar_value según distrib donde p-valor = 1.69×10^{-5}

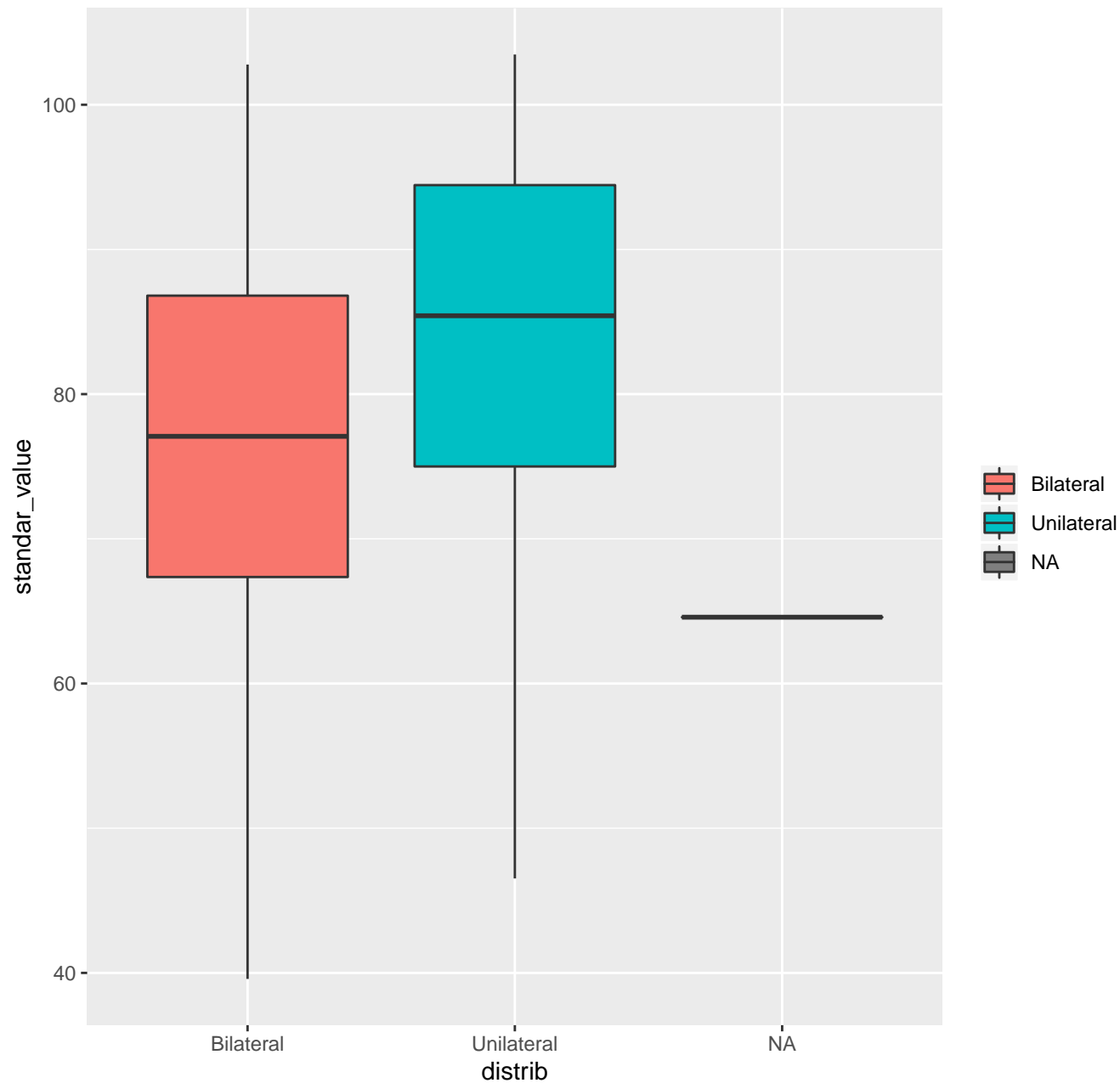


Gráfico de standar_value según quad_r_tone donde p-valor = 0.0070433

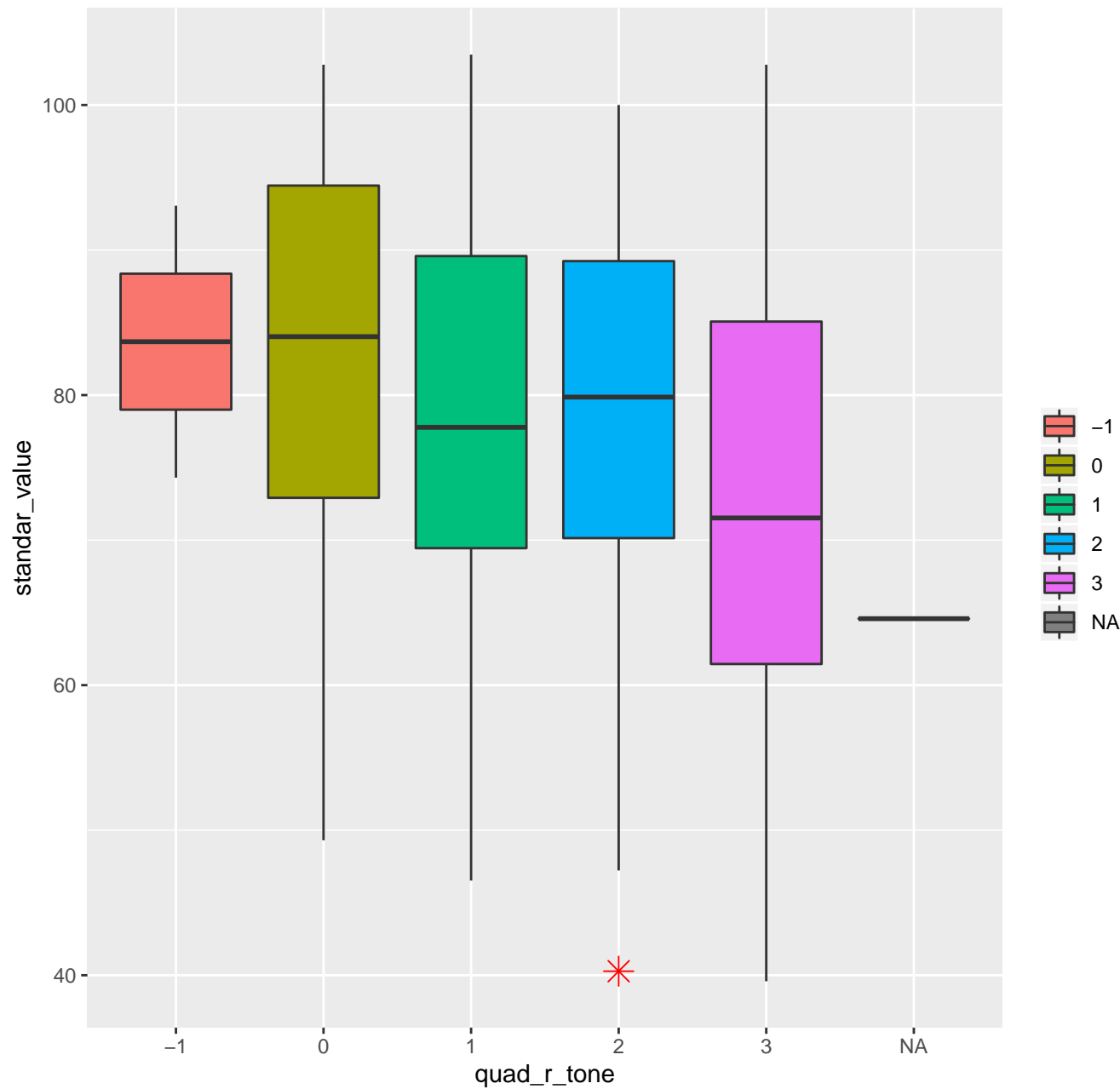


Gráfico de standar_value según quad_l_tone donde p-valor = 0.0002057

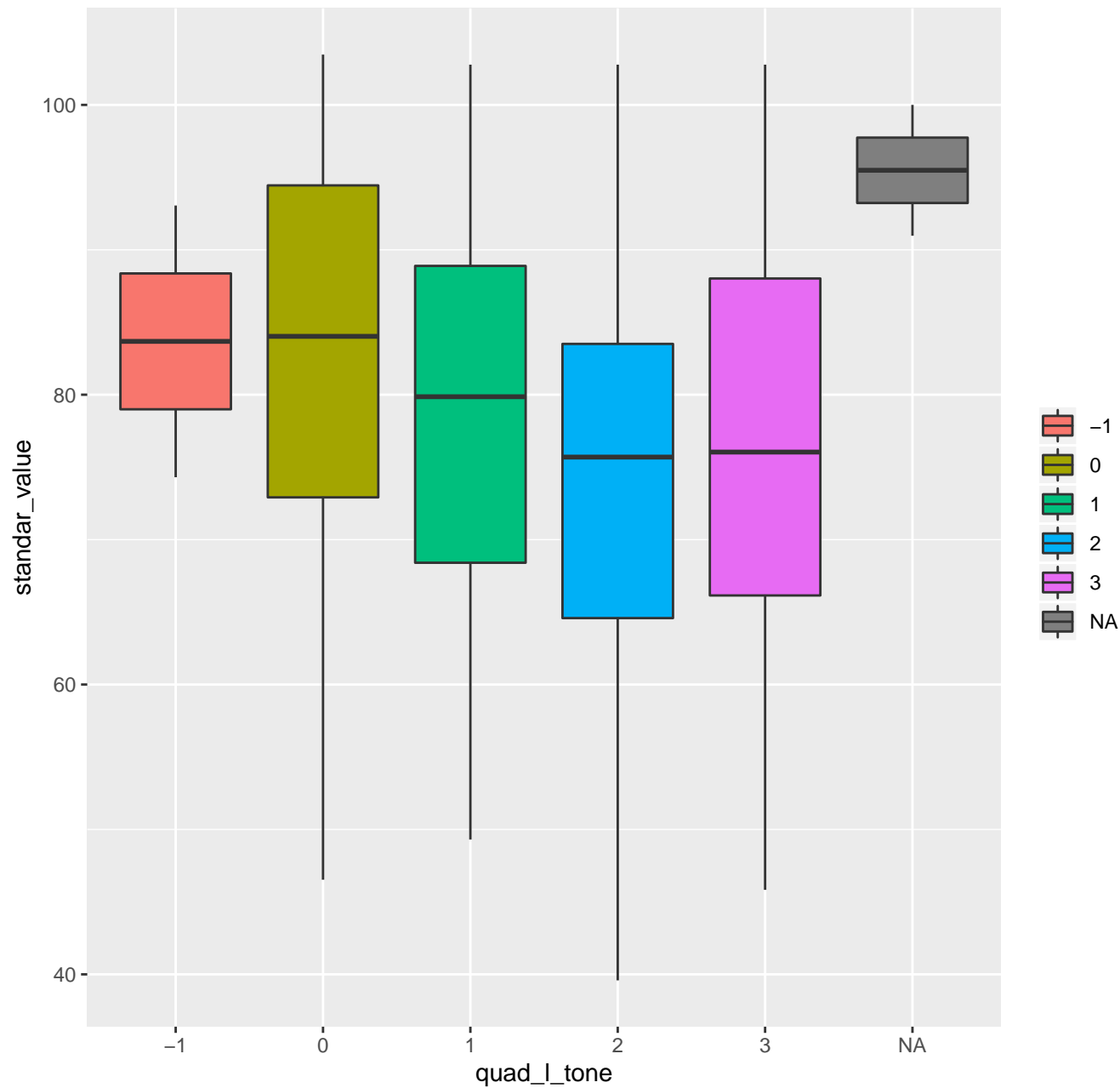


Gráfico de standar_value según hip_flex_r_tone donde p-valor = 0.0061387

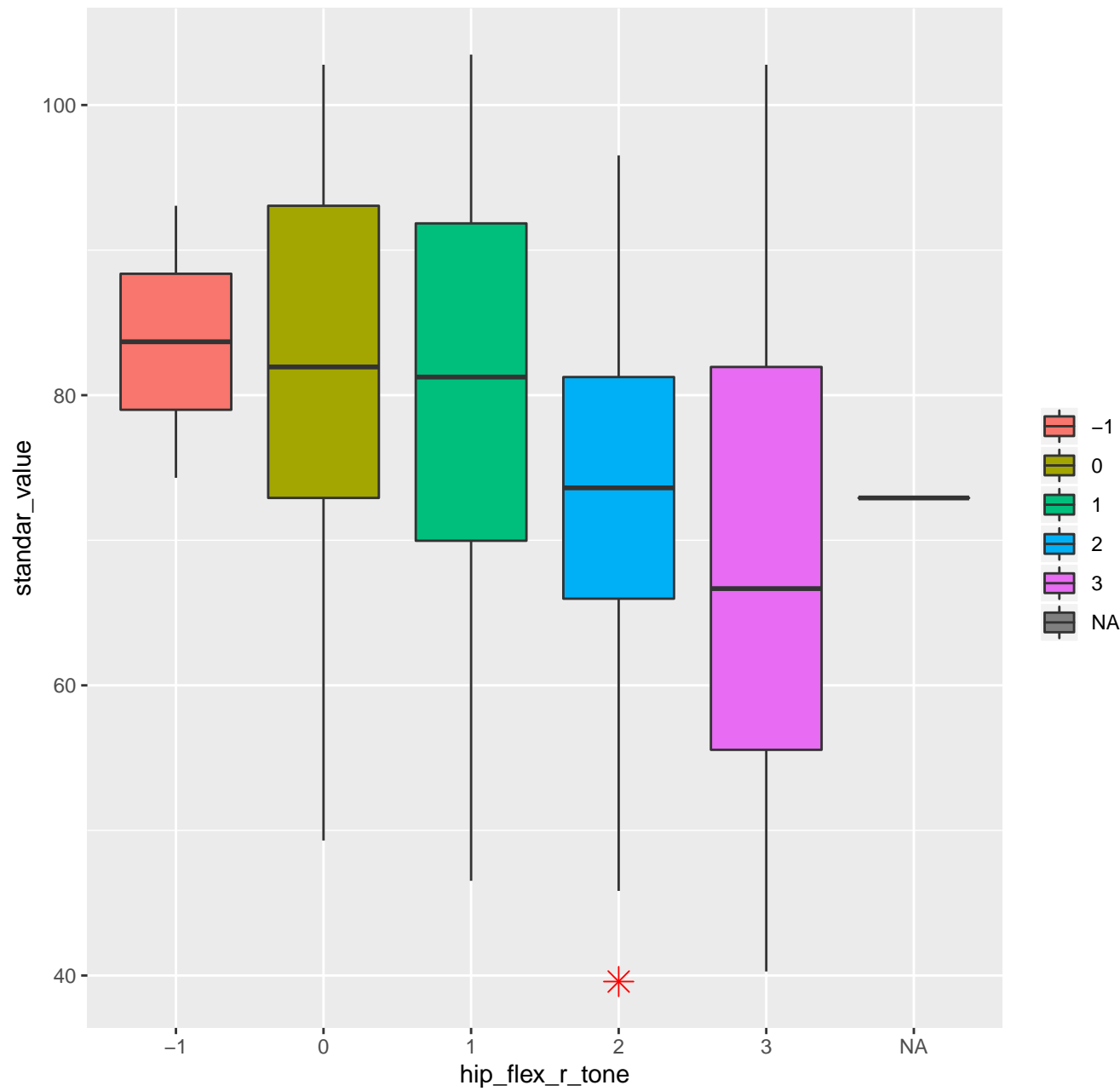


Gráfico de standar_value según hip_flex_l_tone donde p-valor = 0.00077

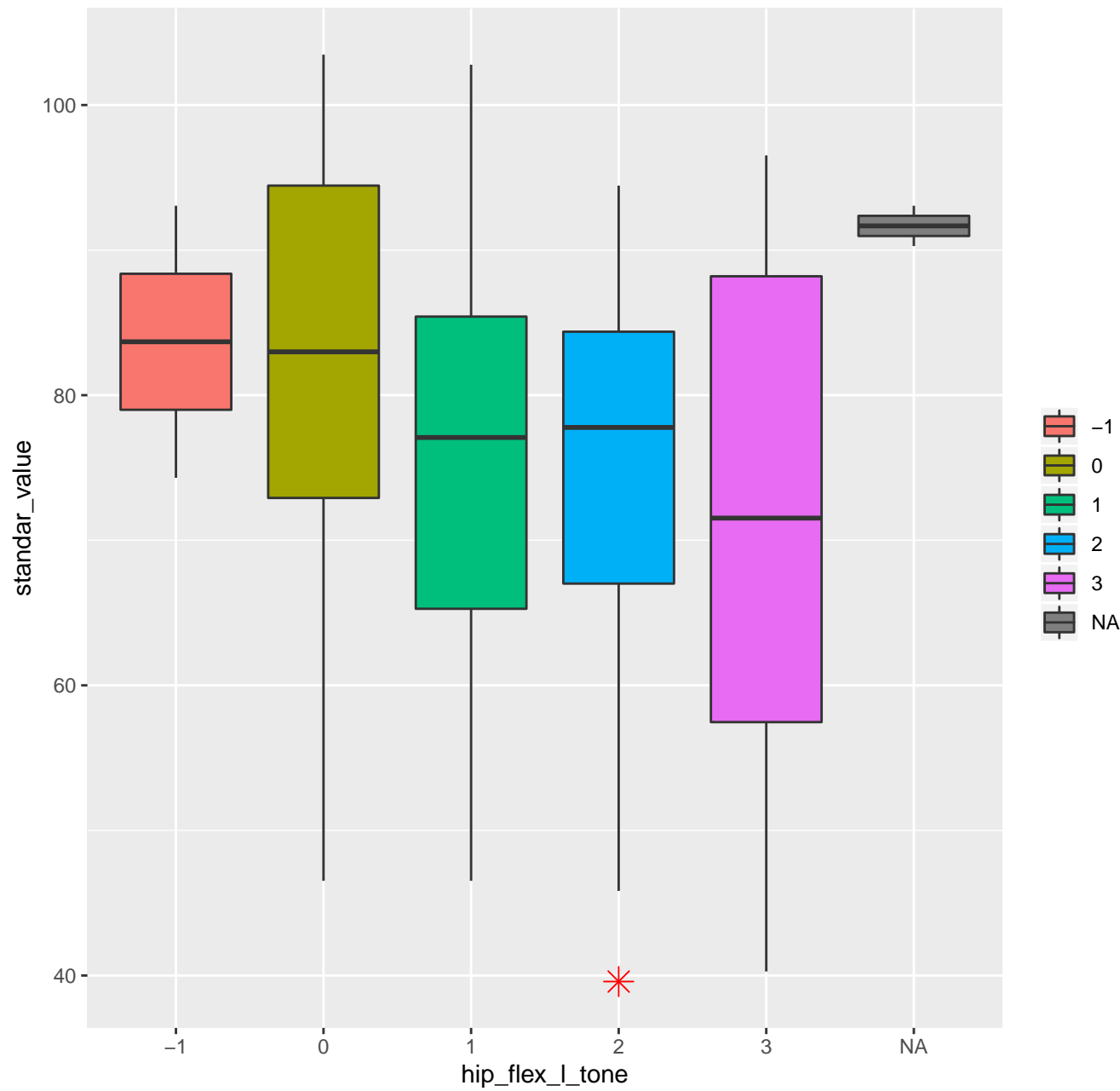


Gráfico de standar_value según gastrocn_l_tone donde p-valor = 0.0174167

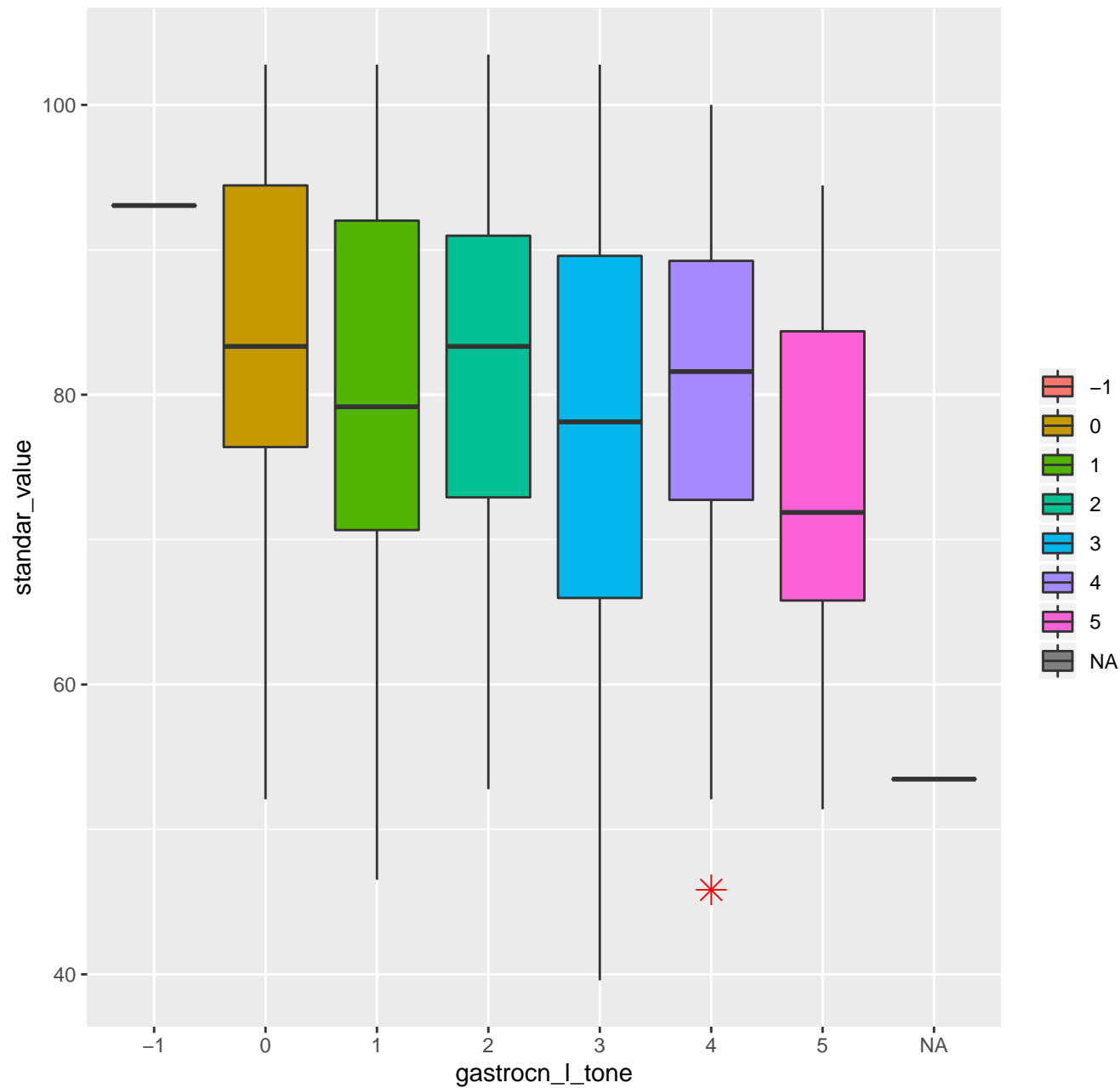


Gráfico de standar_value según hamstr_r_tone donde p-valor = 0.0041834

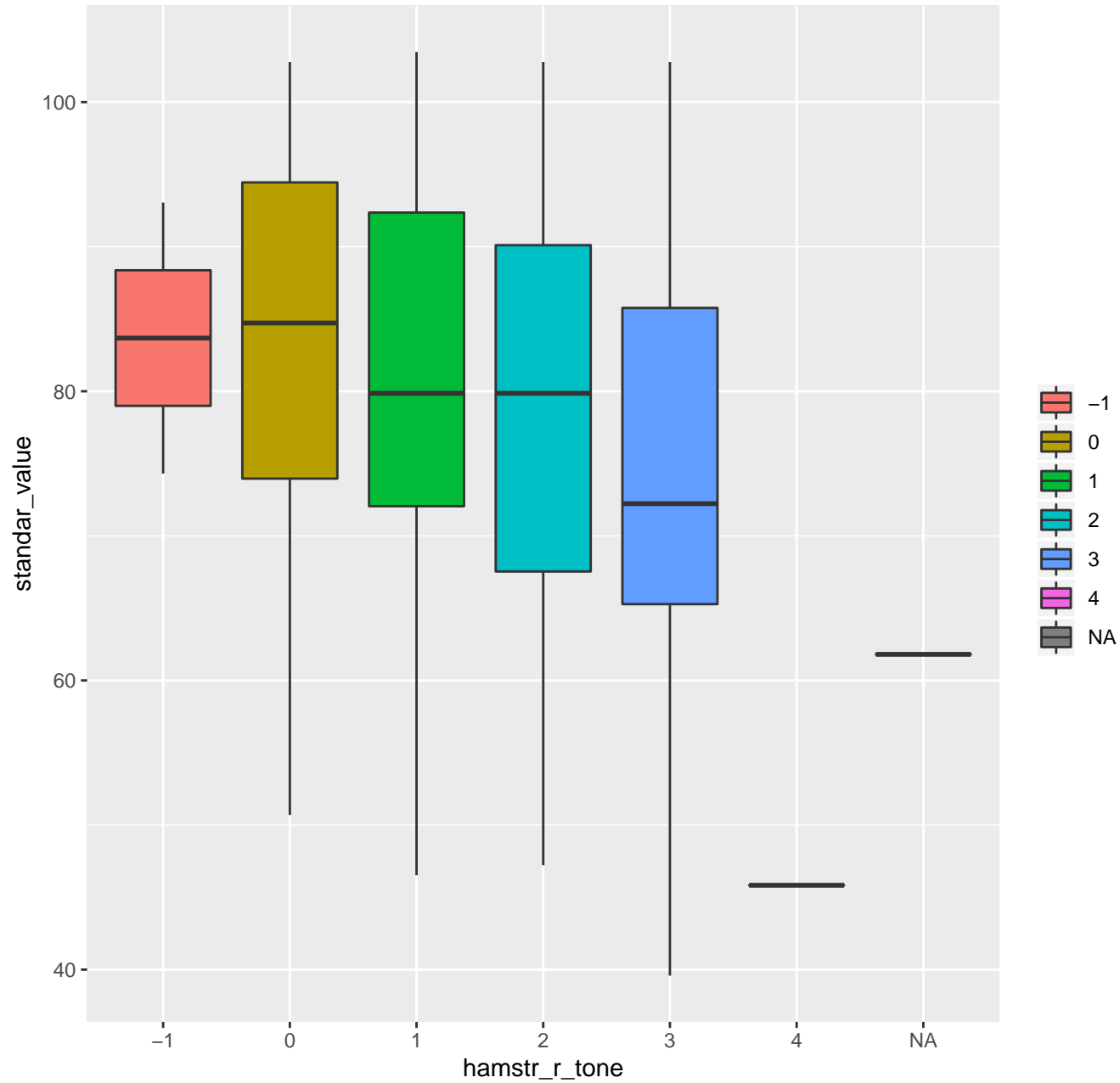


Gráfico de standar_value según hamstr_l_tone donde p-valor = 0.0155416

